

建設省近畿地方建設局 正員 沢井 広之

多径間吊橋、特に5径間吊橋の静力学的特性については、前回試算設計結果に基づいて報告し、長大多径間吊橋が静力学的にはほとんど問題のないことを明らかにした。引き続き多径間吊橋の変形特性について、二、三の検討を行なつたので、その概要について報告する。

(1) 塔剛度の変形における影響について

5径間吊橋について、塔の曲げ剛性の塔頂水平変位、補剛トラス鉛直変位ならびに曲げモーメントなどに対する影響も調べるために、塔のばね係数($M = F/l$)を変えて試算を行なった。(支間割 $500 + 1250 + 1500 + 1250 + 500$ m, $\theta = 1/11$, $g = 15.9 \text{ m/s}^2$, $T = +30^\circ\text{C}$) 試算結果は表-1のとおりである。

試算結果からいえようじ、塔剛度の割合はかなり期待でき、解剖の際の影響を無視することはできない。しかし、現在一般に用いられるPerryの影響線解法では塔の曲げ剛性の影響を解析に考慮できないので、多径間吊橋の解法にこれをそのまま使うのは適当でない。

(2) 変形特性に関する考察 多径間吊橋は同一主径間長を有する3径間吊橋に比して、一般に可撓性である。しかし、構造諸元を適当に選ぶことによつて、静的変形はかなり抑制できるものと考えられる。多径間の変形特性を論ずるに先立つて、3径間について、たわみ変形に寄与する3つの要素をとりあげ、各々の影響の度合いを検討する。

補剛トラスのたわみ(η)はハンガーの伸びを無視すれば、ケーブルのサグ変化に等しくなる。したがつて、これはケーブル変形の変化すなわち塔頂の水平変位によって引き起されたものとケーブルの弾性伸縮によるものとからなる。一般に前者の影響が大きく、特に多径間ではこれが支配的となる。

塔頂変位は次のようにして求めることができる。
ケーブルの水平変位(δ)は次式で与えられる。

$$\delta = \frac{L_E}{E A_c} H_p \pm \varepsilon t L_T + \eta \int_L \zeta dx \quad \dots \dots (1)$$

図-1のよろな弾性変形の際のホアンシャルエネルギー(T)は

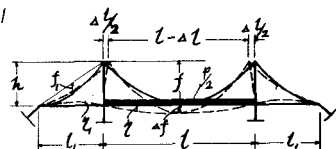
$$V = \frac{1}{2} \left\{ EI \int_L \zeta^2 dx - H_w \left(2\zeta dx + \frac{\delta t}{L} H_p \int_L \zeta dx \right) \right\} \dots \dots (2)$$

たわみ(η)を Fourier の sin 級数を展開し、対称荷重に対して、

$$\text{主径間 } \zeta = \sum a_i \sin \frac{i\pi x}{L} \quad (i=1, 3, 5, \dots) \quad \text{側径間 } \eta = \sum a_i \sin \frac{i\pi x}{L} \quad (i=1, 2, 3, \dots) \dots \dots (3)$$

荷重状態	塔剛度(たわみ)		塔頂水平変位		補剛トラス鉛直変位		主径間	
	主塔	副塔	主塔	副塔	主塔	副塔	側径間	主径間
	0	0	2.29	0.32	11.09	-3.47	2.250	
	120	900	2.14	0.28	10.48	-3.21	2.130	
	240	1800	2.00	0.25	9.96	-2.97	2.020	
	0	0	3.63	0.43	7.00	-6.33	1.420	
	120	900	3.22	0.36	6.65	-5.53	1.380	
	240	1800	2.91	0.31	6.35	-4.91	1.290	

表-1 塔曲げ剛度と変位の関係



$$L_E = \int_L \sec^2 \frac{\pi x}{L} dx, \quad L_T = \int_L \sec^2 \frac{\pi x}{L} dx$$

H_w = 死荷重によるケーブル水平張力
 H_p = 活荷重
 I = 補剛トラス断面二次モーメント
 $a = \frac{\pi^2 EI}{L^2}, \quad L = L_1 + L_2 + L_3$

とおけば、図-1の載荷量によつてなされた仕事量は(4)式で与えられるから、エネルギー最小の原理

$$We = 2P_2 \sum a_i \int_0^L \sin \frac{2\pi i x}{L} dx = \pi \left(\frac{L}{\pi}\right) \sum_i \frac{1}{i} a_i \quad \dots \dots \dots (4)$$

を適用して、(3)式の係数 a_i , a_j を $\frac{\partial(V-We)}{\partial a_i} = 0$, $\frac{\partial(V-We)}{\partial a_j} = 0$ がり、次のように求めることができます。

$$a_i = \frac{2\pi i^2 - 32fH_p}{\pi^3 L^3 (L^2 + H_w)} \quad a_j = -\frac{32i^2 f H_p}{\pi^3 L^3 (f^2 \frac{L}{i^2} + H_w)} \quad (i, j = 1, 3, 5, \dots) \quad \dots \dots \dots (5)$$

したがつて、(1)式第3項は(6)式で表わされながら、これが(5)式を代入すれば、(1)式は次のようになります。

$$4 \int_L^0 \gamma dx = -\frac{8f}{L^2} \left[2 \int_0^L \gamma_1 dx + \int_0^L \gamma_2 dx \right] = -\frac{8f}{L^2} \left(\frac{2L}{\pi} \right) \left[\sum_i \frac{a_i}{i} + 2a_1 \sum_j \frac{a_j}{j} \right] \quad \dots \dots \dots (6)$$

$$\delta = \frac{L_E}{E_c A_c} H_p \pm \varepsilon t L_T - \frac{32f}{\pi^3 L^4} \left\{ \sum_i \frac{\pi i^2 - 16f H_p}{i^3 (L^2 + H_w)} - \sum_j \frac{32i^2 f H_p}{f^3 (f^2 \frac{L}{i^2} + H_w)} \right\} \quad \dots \dots \dots (7)$$

ケーブル支間が一定でケーブル長の変化は伴なうサグの変動(Δf)は、サグ比(f/L)の高次項を無視すれば類似的に(4)式で与えられるので、(7), (8)式から、中央径間長を一定とすれば、たわみ変形に影響をもたらす要素として、側立脚比(α), サグ(f), ケーブル断面積(A_c), 水平張力(H_w, H_p), 神剛トラス断面二次モーメント(I_c)を考えられます。塔頂変位(ΔV)に対する、 α は L_E , L_T には一次的で、第3項に對しても二次的で反比例関係にあり、変位にむかとも大きく寄与する。これに反し、 f の増加は A_c, H_p を減少させ、塔頂変位を小さくするが、この影響は微量である。また、吊構造を重くして、 A_c や H_w を増加させても、これに伴なつて H_p も増えたりになり効果的でない。したがつて、主脚割が他の条件から与えられれば、サグの調整がむかとも有効であるといえる。

しかしながら、(8)式でわかるように、塔頂変位、弹性伸縮係数はサグの減少に伴なつて大きくなり、鉛直れわみとしては、たわみ一定値を越えるとほんの変動しない。数値計算例($L = 1,500m$, $\alpha = 0.5$, $g = 15.5 \text{ m}$, $P = 27 \text{ M}$)を図-2に示す。

このように、サグの操作で塔頂変位は小さくできるのも、鉛直れわみがそれほどなれないとや神剛比の低下、さらには経済的な面を考慮すれば、中央立脚のサグを一定に保ち、側立脚のサグを小さくして、ケーブル水平張力の効率を保つために側立脚の死荷重を減らす構造形式が、たわみを小さくするのに有効である。

5 組鋼吊橋(表-1の諸元)について試算を行なつたが、側立脚のサグを 15% 小さくした場合、鉛直れわみは約 10%, 塔頂最大変位は約 15% 減少しした。

参考文献 Fr. Bleich 他 : The Mathematical Theory of Vibration in Suspension Bridges

